

Литература

- [1] De Wames R. E., Wolfram T. Phys. Rev. Lett., 1971, v. 26, N 10, p. 1445—1448.
- [2] Гуревич А. Г. Магнитный резонанс в ферритах и антиферромагнетиках. М.: Наука, 1973, 591 с.
- [3] Бреховских Л. М. Волны в слоистых средах. М.: Наука, 1957, 507 с.
- [4] Гуляев Ю. В., Никитов С. А., Плесский В. П. ФГТ, 1982, т. 26, № 6, с. 1669—1672.
- [5] Беспятых Ю. И., Харитонов В. Д. ФГТ, 1985, т. 29, № 11, с. 3494—3496.

Институт радиотехники и электроники
АН СССР
Москва

Поступило в Редакцию
27 июня 1987 г.

Журнал технической физики, т. 58, в. 8, 1988

ЭНЕРГОАНАЛИЗ ПОЛЕВЫХ ИОНОВ. АДИАБАТИЧЕСКИЕ ЭНЕРГИИ ИОНИЗАЦИИ ДИМЕРОВ С ВОДОРОДНОЙ СВЯЗЬЮ

С. А. Шишенин, В. В. Соколов, Н. Н. Гришин

При исследовании молекулярных комплексов (МК) со слабыми связями наибольшую ценность имеют результаты, полученные в газовой фазе, — свободные от влияния растворителя и напрямую сопоставимые с теорией [1]. Применяя методику формирования молекулярного пучка с помощью сверхзвукового сопла, методами фотоионизации и фотоэлектронной спектроскопии (ФЭС) удалось измерить адиабатические E_a и вертикальные E_p энергии ионизации изолированных от внешних воздействий ван-дер-ваальсовских молекул и МК с водородной связью [2—7]. Однако для систем со слабыми связями из-за малых значений франк-кондоносских факторов упомянутые методы могут давать завышенные значения E_a [8]. В этом случае может оказаться полезным метод энергоанализа полевых ионов, который позволяет измерять реальные E_a [9]. Как детально описано в [10], в случае полной аккомодации ионизующейся частицы с поверхностью полевого эмиттера экспериментально измеряемый с помощью энергоанализатора задерживающего типа критический дефицит энергии полевого иона связан с E_a частицы следующим образом:

$$\Delta E_{kp} = E_a - \Phi + E_{pi} - 3/2kT_g, \quad (1)$$

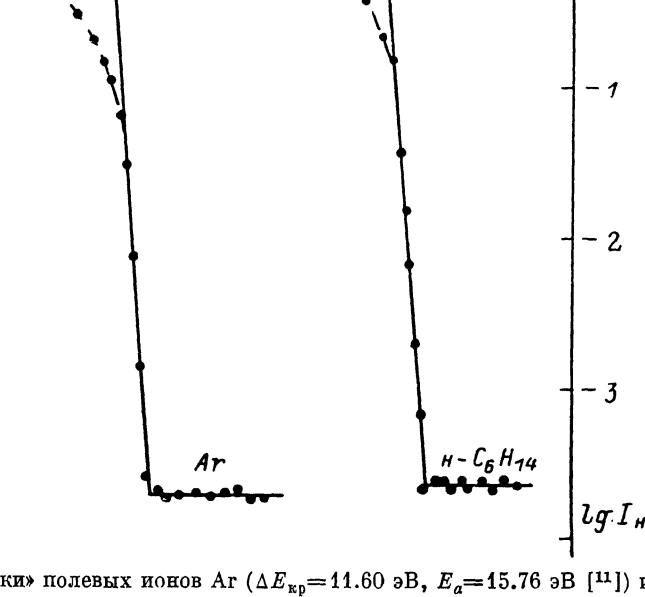
где Φ — работа выхода задерживающей сетки энергоанализатора, E_{pi} — поляризационная энергия нейтральной частицы, k — постоянная Больцмана, T_g — температура эмиттера. Если ионизация произошла при упругом отражении частицы от поверхности эмиттера, эта связь выражается так:

$$\Delta E_{kp} = E_a - \Phi - 3/2kT_g, \quad (2)$$

T_g — температура газа. При неполной аккомодации ΔE_{kp} будет иметь промежуточное между (1) и (2) значение.

Для отработки методики измерения E_a сложных органических соединений нами был проведен энергоанализ полевых ионов веществ, имеющих надежные спектроскопические значения E_a [11]: Ar, Kr, Xe, N₂, H₂O, CH₃OH, C₂H₅OH, n-C₃H₇OH, изо-C₃H₇OH, n-C₄H₉OH, n-C₅H₁₂, C₆H₆, n-C₆H₁₂, n-C₆H₁₄, n-C₆H₁₈, (C₂H₅)₃N, и получены их кривые энергораспределения («кривые задержки»), представляющие собой график полулогарифмической зависимости нормированного значения ионного тока J_k от задерживающей разности потенциалов U_s , равной разности потенциалов эмиттера и центрального электрода энергоанализатора. На рисунке представлены полученные нами «кривые задержки» полевых ионов аргона и n-гексана. Измерения проводились на переоборудованном для работы в режиме полевой ионизации масс-спектрометре МИ-1201. Энергоанализатор задерживающего потенциала типа Симпсона [12] был смонтирован между выходной щелью масс-спектрометра и детектором ионов — канало-ым умножителем ВЭУ-6, работавшим в режиме счета ионов. Центральный электрод анализатора с двух сторон был покрыт золочеными микросетками. Правильность работы системы масс-спектрометр — энергоанализатор проверялась при помощи источника ионов с поверх-

ностной ионизацией из комплекта МИ-1201 по методике определения температуры термоионов по наклону прямолинейного участка «кривой задержки» для случая плоских электродов [13]. Для увеличения точности и воспроизводимости измерений ΔE_{kp} полевых ионов поверхность полевого эмиттера подвергалась термической и химической обработке и дополнительно перед каждой съемкой «кривой задержки» в течение получаса «продувалась» за счет перепада давления в источнике ионов избыtkом бутанола. Значения ΔE_{kp} определялись по потенциалам отсечки на «кривой задержки» [10]. Работа выхода задерживающей сетки анализатора Ф была найдена с помощью измеренных значений ΔE_{kp} полевых ионов благородных газов и ее значение составило 4.16 ± 0.02 эВ. Измеренные нами E_a вышеупомянутых веществ совпали со спектроскопическими значениями с точностью ± 0.03 эВ без учета $E_{\text{на}}$, так что полевая ионизация органических соединений в наших условиях происходит при упругом отражении частиц без их аккомодации с поверхностью эмиттера или при кинетическом выбывании адсорбированных на поверхности эмиттера частиц.



«Кривые задержки» полевых ионов Ar ($\Delta E_{kp}=11.60$ эВ, $E_a=15.76$ эВ [11]) и $n-C_6H_{14}$ ($\Delta E_{kp}=-6.03$ эВ, $E_a=10.17$ эВ [11]).

Отработанная методика была применена для измерения значений E_a МК с водородной связью: димеров воды, метанола и муравьиной кислоты, образование которых происходило в результате межмолекулярных взаимодействий неионного характера на поверхности эмиттера. Результаты наших измерений $E_a^{\text{имc}}$ в сравнении с литературными приведены в таблице, из которой видно, что только в случае димера воды значение $E_a^{\text{имc}}$ в пределах погрешности совпадает с литературными, а в остальных случаях наблюдается существенное расхождение. Это может быть вызвано тем, что из-за неадиабатичности процесса ионизации значения E_a , полученные методами ФЭС и фотоионизации по пороговым значениям, могут превышать реальные E_a , как отмечалось выше. При этом большая разница между значениями E_a и E_b указывает на существенное различие в геометрическом строении равновесных состояний ионизованного и нейтрального димера [4]. Расчетами поверхностей потенциальных энергий методами ab initio было показано, что для ионизованного димера воды характерно равновесное состояние с переносом протона, которому можно приписать строение комплекса оксониевого катиона с гидроксильным радикалом $H_3O^+—OH^-$ [15]. Тогда из условия адиабатичности процесса полевой ионизации можно заключить, что действие внешнего электрического поля вызывает перенос протона в МК с водородной связью еще до акта ионизации и даже способно вызвать гетеролитический разрыв димера. Например, из квантовомеханических расчетов следует, что для гетеролиза $(H_2O)_2$ вблизи металлической поверхности требуется напряженность электрического поля $\geq 0.4 \cdot 10^{10}$ В/м [16], т. е. меньше необходимой для полевой ионизации

Димер	E_B , эВ	E_a , эВ	E_a^{PMC} , эВ	$(E_B - E_a^{\text{PMC}}) / E_B$	$(E_a - E_a^{\text{PMC}}) / E_B$
$(\text{H}_2\text{O})_2$	12.1 ± 0.1 [4]	11.1 ± 0.2 [4] 11.21 ± 0.09 [3] 11.5 ± 0.3 [4]	11.19 ± 0.03	0.91	-0.09 0.02 0.31
$(\text{CH}_3\text{OH})_2$	10.4 ± 0.1 [6]	9.8 ± 0.2 [6]	8.44 ± 0.03	1.98	1.36
$(\text{HCOOH})_2$	11.3 ± 0.1 [5]	11.0 ± 0.1 [5]	10.61 ± 0.03	0.69	0.39

низации воды, чем можно объяснить раннее появление в полевом масс-спектре линий протонированных ионов. Аналогичные процессы можно найти в изменении геометрической и электронной структуры МК из-за неспецифического воздействия растворителя в химических реакциях. Известно, например, что под действием полярного растворителя «внешний» МК способен превращаться во «внутренний» вплоть до образования сольватно разделенных пар и сольватированных ионов [17]. Подобным образом оказывает влияние растворитель и на эксиплексы — комплексы с переносом заряда, устойчивые в возбужденном состоянии, и на комплексы столкновений [18, 19].

Эффект разделения зарядов под действием полярной среды является, по всей видимости, общим свойством всех «мягких» методов ионизации: полевой, лазерного инициирования, быстрыми атомами, вторичными ионами. В этих случаях за счет излучения или взаимодействия с быстрыми частицами появляются возбужденные состояния, легко образующие сольвонаполярные комплексы (эксиплексы), а полярная матрица способствует разделению зарядов, чему в случае лазерного инициирования получены прямые экспериментальные подтверждения [20].

Литература

- [1] Molecular Interactions. Ed. by H. Ratajczak, W. J. Orwille-Thomas. N. Y.: Wiley, 1980, v. 1, ch. 1.
- [2] Смирнов Е. М. Комплексные ионы. М.: Наука, 1983. 152 с.; Ng C. Y. Adv. Chem. Phys., 1983, v. 52, N 1, p. 263—362.
- [3] Ng C. Y., Trevor D. J., Tiedemann P. W. et al. J. Chem. Phys., 1977, v. 67, N 9, p. 4235—4237.
- [4] Tomoda S., Achiba Y., Kimura K. Chem. Phys. Lett., 1982, v. 87, N 2, p. 197—200.
- [5] Tomoda S., Achiba Y., Nomoto K. et al. Chem. Phys., 1983, v. 74, N 1, p. 113—120.
- [6] Tomoda S., Achiba Y., Kimura K. Chem. Phys., 1983, v. 74, N 1, p. 121—126.
- [7] Tomoda S., Kimura K. Chem. Phys. Lett., 1985, v. 121, N 1, p. 159—162.
- [8] Tomoda S., Kimura K. Chem. Phys. Lett., 1984, v. 111, N 4—5, p. 434—438.
- [9] Гольденфельд И. Б., Коростышевский И. З., Мисчанчик Б. Г., Покровский В. А. ДАН СССР, 1973, т. 213, № 3, с. 626—629.
- [10] Tsong T. T., Schmidt W. A., Frank O. Surf. Sci., 1977, v. 65, N 1, p. 109—123.
- [11] Энергии разрыва химических связей. Потенциалы ионизации и средство к электрону / Под ред. В. Н. Кондратьева. М.: Наука, 1974. 351 с.
- [12] Simpson J. A. Rev. Sci. Instr., 1961, v. 32, N 12, p. 1283—1287.
- [13] Зандберг Э. Я., Ионов Н. И. Поверхностная ионизация. М.: Наука, 1969. 432 с.
- [14] Heinen H. J., Roellgen F. W., Beckey H. D. Z. Naturforsch., 1974, v. 29a, N 5, p. 773—781.
- [15] Tomoda S., Kimura K. Chem. Phys., 1983, v. 82, N 1—2, p. 215—227.
- [16] Пинчук В. М., Пинчук А. М., Шеардина Л. Б. ЖТФ, 1984, т. 58, № 10, с. 2616—2618.
- [17] Bhat S. N., Rav C. N. R. J. Am. Chem. Soc., 1966, v. 88, N 14, p. 3216—3219.
- [18] Molecular Interactions. Ed. by H. Ratajczak, W. J. Orwille-Thomas. N. Y.: Wiley, 1981, v. 2, p. 509—570.
- [19] Evans D. F. Chem. Phys., 1955, v. 23, N 8, p. 1424—1426.
- [20] Migita M., Kawai M., Mataga N. et al. Chem. Phys. Lett., 1978, v. 53, N 1, p. 67—70.